

# بررسی آزمایشگاهی فرسایش رسوب‌های چسبنده در حضور رسوب‌های درشت‌دانه بستر

میلاد خواستار بروجنی (دانشجوی دکتری)  
دانشکده‌ی فنی و هندسی، دانشگاه فردوسی، مشهد

حسین صمدی بروجنی \* (دانشیار)  
دانشکده‌ی فنی و هندسی، دانشگاه شهرکرد

مرضیه قاسمی (کارشناس)

زهرا طاهری (کارشناس)  
مرکز تحقیقات مهندسی آب، دانشگاه شهرکرد

مهمنگی عمران شریف، پاییز (۱۳۹۹) ۲ - ۶، شماره ۲ / ۳، ص. ۱۸۱-۱۹۰  
دوری ۲ - ۶۴، شماره ۲ / ۳، ص. ۱۸۱-۱۹۰

در نوشتار حاضر، به بررسی فرسایش رسوب‌های چسبنده در حضور رسوب‌های بستر پرداخته شده است. آزمایش‌های فرسایش با استفاده از فلوم دایره‌بی و برای ۶ حالت بستر (بستر صاف و ۵ دانه‌بندی رسوب‌های درشت‌دانه از  $D_{50} = 2/8\text{mm}$ )، پنج تنش برشی جریان و رسوبات تنشین شده با دوره‌ی تحکیم ۲۴ mm ساخت انجام شد. پارامترهای هیدرولیکی جریان با استفاده از دستگاه سرعت‌سنج صوتی اندازه‌گیری شد و نتایج نشان داد با وجود افزایش تنش برشی در بسترها حاوی رسوب‌های درشت‌دانه، میزان فرسایش یافته پس از پالان یافتن آزمایش‌ها برای بسترها صاف و غیرصاف (با مواد بستر  $D_{50} = 48/2\text{mm}$ ) به ترتیب ۴۷ و ۴۹ گرم بر لیتر به دست آمد، که نشان می‌دهد بستر درشت‌دانه توانسته است تا ۹۶٪ نسبت به بستر صاف، فرسایش رسوب‌های چسبنده را کاهش دهد. این در حالی است که به ازای یک نیروی ثابت، تنش برشی متوسط جریان در بستر درشت‌دانه،  $5/5$  برابر بستر صاف است. کاهش پدیده‌ی فرسایش و نیز آن در بسترها حاوی رسوب‌های درشت‌دانه ناشی از تله‌اندازی رسوب‌های ریزدانه در میان فضای خالی رسوب‌های درشت‌دانه بستر است که اجازه‌ی دوباره معلق شدن پیدا نمی‌کنند. در پژوهش حاضر، تنش برشی آستانه‌ی فرسایش رسوب‌های چسبنده در بستر صاف،  $12/\text{N}\cdot\text{mm}$  بر مترمربع به دست آمد. این در حالی است که تنش برشی بحرانی فرسایش برای بستر زبر ( $D_{50} = 2/8\text{mm}$ ) به ترتیب  $16/\text{N}\cdot\text{mm}$  و  $92/\text{N}\cdot\text{mm}$  بر مترمربع به دست آمده است.

khastar1365@yahoo.com  
samadi153@yahoo.com  
marzie.ghasemi93@gmail.com  
sahra\_taheri65@yahoo.com

واژگان کلیدی: تله‌اندازی، ته‌نشینی، تنش برشی بحرانی، تحکیم، فلوم دایره‌بی.

## ۱. مقدمه و تاریخچه مطالعات

برای کشتن رفتار آن کافی است.<sup>[۱]</sup> ذرات ریز رسی در سطح خود با منفی دارند و امکان اینکه ذرات با کاتیون‌ها محاصره شوند، وجود دارد. این پدیده به علت جانشینی هم‌ریخت و همچنین به دلیل شکست پیوستگی ساختمان مولکول‌ها در لبه‌ی بین دو پولک رس است. ضخامت لایه‌ی ذکر شده با توجه به نوع مواد و غلظت یون‌ها می‌تواند بسیار متفاوت باشد و معمولاً با تعادل بین نیروی جاذبه و دافعه بین ذرات مشخص می‌شود. از طرفی، اثر متقابل بین برخورد دو ذره، تابع اثر متقابل لایه‌ی دوگانه است. به گونه‌یی که در ابتدا نیروی الکترومغناطیسی دفعه‌کننده تمایل به جذبی ذرات از یکدیگر دارد، اما با برخورد بین ذرات، نیروی جاذبه‌ی ذرات را به یکدیگر متصل می‌کند.<sup>[۲]</sup> عامل چسبنده‌ی رسوب‌های ریزدانه سبب می‌شود که ذرات مذکور به صورت انفرادی منتقل نشوند و تمایل بیشتری به انتقال به صورت

فرایندی‌های فرسایش و ته‌نشینی دو پارامتر مهم و تأثیرگذار در تغییرات ریخت روخدانه‌ها هستند. فرسایش رسوب‌های چسبنده توسط جریان، مسئله‌ی مهم در سراسر جهان است، که در مواردی مانند: پایداری سواحل روخدانه، شکست سدهای خاکی، عمر مفید مخازن، مدیریت شبکه‌های آبیاری، توزیع آب‌گگر و مسائل کیفیتی به آنها توجه می‌شود.

انتقال رسوب‌های چسبنده کاملاً شناخته شده نیست، که دلیل عدمه‌ی آن، پیچیدگی‌های رفتار رسوب‌های چسبنده است. وجود ۱۰٪ رس در ساختمان خاک

\* نویسنده مسئول

تاریخ: دریافت ۲۶/۱/۱۳۹۸، اصلاحیه ۲۵/۶/۱۳۹۸، پذیرش ۲۲/۷/۱۳۹۸.

DOI:10.24200/J30.2019.52750.2505

این حالت برای ذرات درشت به راحتی مشاهده نشده است. همچنین ملاحظه کرد که برای ذرات ریزدانه با یک چگالی و تنش برشی مشخص، با افزایش قطر ذرات چسبندۀ میزان فرسایش به سرعت افزایش می‌یابد و بعد از رسیدن به یک مقدار بیشیّه برای ذرات درشت‌دانه، میزان فرسایش کاهش می‌یابد.<sup>[۲]</sup>

تنش برشی آستانه‌ی فرسایش، یکی از پارامترهای مهم در مدل‌های انتقال رسوب‌های چسبندۀ است. برای رسوب‌های چسبندۀ مقدار تنش برشی بحرانی برای فرسایش بزرگ‌تر از تنش برشی بحرانی تهشیّنی است.<sup>[۴]</sup>

در حال حاضر، دو نگرش مختلف در مورد آستانه‌ی فرسایش رسوب‌های چسبندۀ وجود دارد. اولین مورد، عدم وجود آستانه‌ی فرسایش برای رسوب‌های چسبندۀ را بیان می‌کند، که براین اساس می‌توان اظهار کرد که برخی از ذرات در هر مقدار از تنش برشی بستر دچار فرسایش می‌شوند.<sup>[۱۶]</sup> دلیل<sup>۵</sup> و همکاران (۱۹۸۴)،<sup>[۱۵]</sup> میزان نزخ فرسایش (ε) را با استفاده از مفهوم عدم وجود آستانه‌ی فرسایش به صورت رابطه ۱ ارائه کردند:

$$\varepsilon = \alpha \tau^{\beta} \quad (1)$$

که در آن،  $\alpha$  و  $\beta$  ضرایب تجربی هستند. اساس در نظریه‌ی دوم، وجود آستانه‌ی فرسایش رسوب‌های چسبندۀ است، که در این حالت رابطه‌ی میزان نزخ فرسایش را طوری در نظر گرفته‌اند که آستانه‌ی فرسایش وجود داشته باشد.<sup>[۱۷]</sup>

$$\varepsilon = \alpha_2 [\tau - \tau_c(z)]^{n_2} \quad (2)$$

که در آن،  $\varepsilon$  تنش برشی بحرانی فرسایش،  $z$  عمق فرسایش،  $\alpha_2$  و  $n_2$  ثابت‌های تجربی هستند.

مطالعات بسیاری به صورت آزمایشگاهی و میدانی در شناخت پدیده‌ی فرسایش رسوب‌های چسبندۀ و تنش برشی آستانه‌ی فرسایش با پیکی‌های مختلف: مکانیکی، فیزیکی، الکتروشیمی و بیولوژیکی رسوب‌ها انجام شده است. بونگ و همکاران (۲۰۱۵)،<sup>[۱۸]</sup> تأثیر ضخامت لایه‌ی رسوب‌های تنش برشی بحرانی فرسایش را بررسی کردند و به این نتیجه رسیدند که ضخامت لایه‌ی رسوب‌های تنش برشی بحرانی شده در تنش برشی بحرانی فرسایش یا همان آستانه‌ی حرکت ذرات بستر تأثیرگذار است و با افزایش ضخامت لایه‌ی رسوب‌ها، میزان تأثیر آن در تنش برشی بحرانی فرسایش نیز کاهش می‌یابد.

گنسبرگن<sup>۶</sup> (۲۰۱۴)،<sup>[۱۹]</sup> خصوصیات انتقال رسوب‌های چسبندۀ حوضه‌ی رودخانه‌ی البو<sup>۷</sup> در کانادا را با استفاده از یک فلوم دورا به طور متوسط با بستر صاف بررسی کرد که در طی آزمایش‌های انجام شده، میزان تنش برشی بحرانی رسوب‌های چسبندۀ برای فرسایش و رسوب‌گذاری به ترتیب ۰٪، ۱۲٪ و ۱۵٪ پاسکال در طول دوره‌های تحکیم ۳۹ و ۱۱۳ ساعت به دست آمد. تنش برشی بحرانی برای فرسایش رسوب‌های رودخانه‌ی البو به طور تقریبی، ۲ برابر بیشتر از تنش برشی بحرانی تهشیّنی بود.

دروپو<sup>۸</sup> و همکاران (۲۰۱۵)،<sup>[۲۰]</sup> نیز در بررسی مشخصات فرسایش رسوب‌های چسبندۀ در فلوم دورا به قطر ۲ متر، آزمایش‌های فرسایش را برای دوره‌های تحکیم ۳، ۱ و ۷ روز انجام دادند و دریافتند که تنش برشی بحرانی کف برای وقوع فرسایش از ۵٪ به ۱۹٪ پاسکال (برای دوره‌ی زمانی ۱ تا ۷ روزه) افزایش یافته است. در میان‌حاث انتقال رسوب‌های ریزدانه علاوه بر فرایند‌های فرسایش و تهشیّنی، پدیده‌ی تله‌اندازی ذرات معلق در میان رسوب‌های بستر نیز مطرح است، که کمتر پژوهشگران به آن پرداخته‌اند. همان‌طور که بیان شد، توجه بیشتر پژوهشگران بر

توده‌بی (فلوک) و جمعی داشته باشند. توده‌های اشاره شده، یک قالب پیچیده از اجتماع ریز (میکروسکوپی) هستند، که ذرات آلی و غیرآلی و فضای خالی بین آنها، اجازه‌ی نگهداری و یا عبور آب را درین آنها می‌دهد. واکنش پذیری و حفره‌های نسبتاً زیاد بین توده‌ها در جذب و پراکنده کردن آلاندنه‌های ستون آب تأثیرگذار است.<sup>[۲۱]</sup> بسیاری از آلاندنه‌ها، همچون فلات سنگین آفتکش‌ها و کودها به طور سطحی جذب رسوب‌های چسبندۀ می‌شوند. رسوب‌ها در بعضی مواقع، خود در کیفیت آب تأثیرگذار هستند.<sup>[۲۲]</sup>

رسوب‌های معلق به دلیل خاصیت چسبندگی و برخورد بین ذرات، توده‌های بزرگ‌تری به نام فلوک<sup>۱</sup> را تشکیل می‌دهند. توده‌های بزرگ‌تر نسبت به توده‌های کوچک، سریع‌تر تهشیّن می‌شوند و نتیجه‌ی آن لایه‌ی شدن بسته است، که ذرات ریزتر بر روی لایه‌ی فوقانی قرار می‌گیرند. ذرات تهشیّن شده زیرین به تدریج تحکیم می‌شوند و ذرات تهشیّن شده در لایه‌های سطحی، با امکان فرسایش بیشتری رو به رو هستند.<sup>[۲۳]</sup>

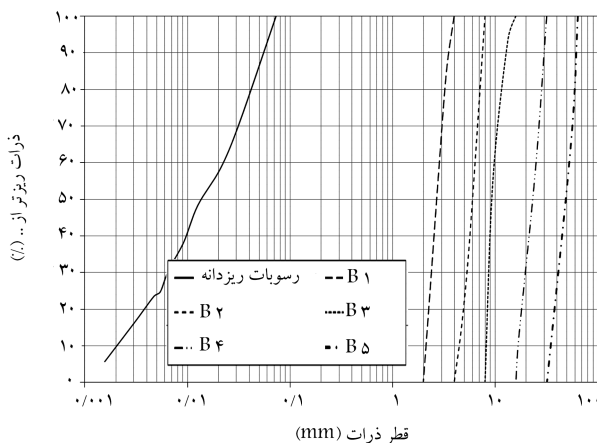
در مجري ای حاوی رسوب‌های بستر نظیر رودخانه‌های کوهستانی، تهشیّنی رسوب‌های چسبندۀ موجب تشکیل یک لایه‌ی مسدودکننده بر روی رسوب‌های بستر می‌شود، که با اختلال در تبادل و گردش آب موجب تخریب زیست‌گاه آبیان می‌شوند. پژوهشگران براین باورند که تله‌اندازی رسوب‌ها در مواد بستر، تا زمان تشکیل لایه‌ی مسدودکننده ادامه می‌یابد و پس از آن افزایش تله‌اندازی رسوب‌های معلق را وابسته به حرکت ذرات بستر که مانع تشکیل لایه‌ی مسدودشونده در بالای سطح بستر رودخانه می‌شود، می‌دانند. لایه‌ی مسدودکننده تحت شرایط ثابت از طریق داخل شدن ذرات رس به متأذی خالی بستر تشکیل می‌شود. لایه‌ی مسدودکننده، فرایند مکش و به همان نسبت نفوذ ذرات به بستر را کاهش می‌دهد.<sup>[۲۴]</sup>

کریشنپاپ و انگل<sup>۲</sup> (۲۰۰۶)،<sup>[۲۵]</sup> پتانسیل تله‌اندازی برای شن‌های بستر تحت شرایط تنش برشی کم و زیاد بررسی کردند و دریافتند که لایه‌ی مسدودکننده در پژوهش آنها تشکیل نمی‌شود. مشاهده‌های صورت گرفته نشان داد که نسبت متفاوت بزرگ‌تر مرتبه با شن برای جلوگیری از تشکیل لایه‌ی مسدودکننده برای غلظت مورد استفاده در پژوهش مذکور کافی است. براین اساس، شن با فضای خالی بزرگ، پتانسیل بالاتری در تله‌اندازی رسوب‌های ریزدانه حتی در شرایط جریان پایین دارد. خواستار بروجنی و همکاران (۲۰۱۸)،<sup>[۲۶]</sup> به بررسی تأثیر رسوب‌های بستر در تهشیّنی و تله‌اندازی رسوب‌های معلق پرداختند و دریافتند که ضریب تله‌اندازی در بستر ماسه‌ای و شنی با افزایش تنش برشی و غلظت اولیه، نسبت به بستر صاف به ترتیب تا ۵٪ و ۳٪ برابر افزایش می‌یابد. همچنین ایشان افزایش ضریب تله‌اندازی در تنش‌های برشی بزرگ‌تر را ناشی از تأثیر رسوب‌های داشت دانه‌ی بستر در کاهش سرعت جریان و ایجاد پدیده‌های ترکشی - رفت و برگشته ناشی از آشفتگی جریان بیان کردند.

پس از تهشیّنی رسوب‌های معلق در بستر، شرایط فرسایش برای رسوب‌های چسبندۀ فراهم است. فرسایش‌پذیری رسوب‌های چسبندۀ توسط پارامترهای بسیاری، نظیر: اندازه‌ی ذرات، ترکیب مواد معدنی، میزان مواد آلی، سوری، pH، فرایندهای بیولوژیکی و مقاومت بستر (تحکیم) او غیره کترول می‌شود.<sup>[۲۷]</sup> ریونس (۱۹۹۹)،<sup>[۲۸]</sup> فرسایش را تابعی از سرعت متوسط جریان، عمق جریان و نسبت تنش برشی جریان به تنش برشی آستانه‌ی فرسایش می‌داند. کرون<sup>۳</sup> (۱۹۹۹)،<sup>[۲۹]</sup> نیز رابطه‌یی را برای نزخ فرسایش ارائه داده و فرسایش را تابعی از نسبت تنش برشی متوسط بستر به تنش برشی آستانه‌ی فرسایش در نظر گرفته است. روپرت (۱۹۹۸)،<sup>[۳۰]</sup> آزمایش‌هایی به منظور بررسی تأثیر اندازه‌ی ذرات رسوبی و چگالی آنها در نزخ فرسایش انجام داد و نتیجه گرفت که نزخ فرسایش شدیداً تابع چگالی ذرات است، ضمن این‌که

جدول ۱. مشخصات فیزیکی بستر.

پارامتر	بستر اول (B <sub>۱</sub> )	بستر دوم (B <sub>۲</sub> )	بستر سوم (B <sub>۳</sub> )	بستر چهارم (B <sub>۴</sub> )	بستر پنجم (B <sub>۵</sub> )
D <sub>۱۰</sub> (mm)	۲/۱	۴/۵	۸/۲	۱۶/۹	۲۵/۲
D <sub>۳۰</sub> (mm)	۲/۴	۵/۳	۸/۸	۲۰/۹	۴۱/۵
D <sub>۵۰</sub> (mm)	۲/۸	۶/۰	۹/۴	۲۴/۱	۴۸/۲
D <sub>۶۰</sub> (mm)	۲/۹	۶/۵	۱۰/۱	۲۷/۱	۵۳/۱
ضریب یکنواختی	۱/۳	۱/۴	۱/۲	۱/۶	۱/۰۳
ضریب انحنای	۰/۹۴	۰/۹۶	۰/۹	۰/۹۵	۰/۹۹



شکل ۱. دانه‌بندی رسوب‌های درشت‌دانه و ریزدانه‌ی استفاده شده در پژوهش حاضر.

روانی و شاخص خیری به ترتیب ۲۹، ۲۰ و ۵۱ درصد به دست آمد. مشخصات رسوب‌های درشت‌دانه نیز در جدول ۱ ارائه شده است.

## ۲. تجهیزات آزمایشگاهی استفاده شده

آزمایش‌های فرسایش با استفاده از فلوم دایره‌بی موجود در آزمایشگاه تحقیقات متابع آب دانشگاه شهرکرد با عرض ۳۰ و ارتفاع ۵۰ سانتی‌متر انجام شد. قطرهای داخلي، خارجي و متوسط فلوم به ترتیب ۱/۹، ۱/۶ و ۱/۰۳ متر بوده است. فلوم موجود از ورق گالوانيزه با پنجره‌های پلاکسي‌گلس ساخته شده و یک درپوش از جنس پلاکسي‌گلس با قطر ۱/۶ متر در داخل فلوم به گونه‌ی طراحی شده است، که از دیواره‌های فلوم ۲ سانتی‌متر فاصله دارد و قابلیت تنظیم برای قرارگیری بر روی سطح آب فلوم با عمق‌های مختلف را دارد. فلوم دارای دو الکتروموتور مجزا مجهز به اینورتر بود، که قادر به چرخش فلوم و درپوش با سرعت چرخش قابل تنظیم است. ضمن این‌که دستگاه اشاره شده، قابلیت چرخش فلوم و درپوش در هر جهت دلخواه را فراهم کرده است. بر روی دیواره‌ی فلوم ۳۲ عدد شیر نمونه‌گیری در ۴ موقعیت مختلف فلوم و در فواصل ۵، ۱۰، ۱۵، ۲۰، ۲۵، ۳۰ و ۳۵ سانتی‌متر از کف جهت سنجش غلظت مواد معلق در ستون آب تعییه شده است. شکل ۲، نمای شماتیک و قسمت‌های مختلف فلوم دایره‌بی موجود را نشان می‌دهد.

آزمایش‌های مختلف انجام شده بر روی فلوم دوار اشاره شده نشان می‌دهد زمانی که درپوش و فلوم بر عکس یکدیگر بچرخدند و نسبت سرعت چرخش درپوش

تأثیر پارامترهای شیمیابی، بیولوژیکی، ویژگی فیزیکی رسوب‌ها، شرایط تحکیم، آشفتگی جریان و غیره بوده و در معادله‌های انتقال رسوب‌های چسبنده، پارامتر تله‌اندازی و تأثیر آن در فرایندهای فرسایش و تهشیین رسوب‌های چسبنده در شرایط هیدرولیکی ثابت، کمتر بررسی شده است. از این‌رو در پژوهش حاضر به بررسی پدیده‌ی فرسایش رسوب‌های چسبنده در حضور رسوب‌های بستر با استفاده از فلوم دایره‌بی پرداخته شده است؛ تا بر این اساس بتوان تأثیر تله‌اندازی رسوب‌ها را در پارامترهای مهم فرایند فرسایش، نظیر تنفس برشی بحرانی و نخ فرسایش ارزیابی کرد.

## ۲. مواد و روش‌ها

### ۱.۲. تهیه‌ی رسوب

برای رسیدن به اهداف پژوهش حاضر، احتیاج به رسوب‌های ریزدانه و درشت‌دانه است. رسوب‌های مورد نیاز پژوهش حاضر از بستر و کناره‌های رودخانه‌ی ارمند<sup>۹</sup>، که از حوضه‌ی کارون شمالی سرچشمه می‌گیرد و در نهایت به سد کارون ۴ می‌ریزد، جمع‌آوری و تهیه شده است. پس از جداسازی رسوب‌های درشت‌دانه به منظور تهیه‌ی رسوب‌های ریزدانه، باقی‌مانده‌ی رسوب‌ها در آب حل و سپس از الک شماره‌ی ۲۰۰ استاندارد ASTM عبور داده شدند. رسوب‌های عبوری از الک شماره‌ی ۲۰۰ با قطر ۷۵/۰ میلی‌متر بر اساس تعاریف در گروه رسوب‌های رس و سیلت قرار می‌گیرد، که خاصیت چسبنده‌ی نیز دارند.

رسوب‌های درشت‌دانه نیز بر اساس تقسیم‌بندی اتحادیه‌ی ژئوفیزیک آمریکا، در محدوده‌ی شن و قلاوه‌سنگ (اندازه‌ی بین ۶۴ تا ۲ میلی‌متر) و در ۵ محدوده‌ی بسیار ریز (B<sub>۱</sub>) با قطر متوسط بین ۲ تا ۴ میلی‌متر، محدوده‌ی محدوده‌ی ریز (B<sub>۲</sub>) با قطر متوسط بین ۸ تا ۱۶ میلی‌متر، محدوده‌ی درشت (B<sub>۴</sub>) با قطر متوسط بین ۳۲ تا ۶۴ میلی‌متر، محدوده‌ی خیلی درشت (B<sub>۵</sub>) با قطر متوسط بین ۲۲ تا ۴۶ میلی‌متر جداسازی شدند. رسوب‌های درشت‌دانه به گونه‌ی انتخاب شدند که دانه‌بندی یکنواخت داشته باشند (ضریب یکنواختی کمتر از ۴ و ضریب انحنای کمتر از ۱/۵). در شکل ۱، دانه‌بندی رسوب‌های استفاده شده ارائه شده است.

بر اساس نتایج آزمایش هیدرومتری، رسوب‌های ریزدانه با قطر متوسط ۱۴/۰ میلی‌متر، حاوی ۶۳٪ رس و ۳۷٪ سیلت بودند. حدود اتربرگ برای رسوب‌ها بر اساس استاندارد ASTM-D ۴۲۳ مشخص شد؛ که بر اساس آن، حد خمیری، حد

در نظر گرفته شد و پس از گذشت زمان تحکیم، برای بررسی تنش برشی آستانه فرایند ریزپوشی، فلوم و درپوش با کمترین سرعت درخلاف جهت یکدیگر و بر اساس یافته های خواستار و همکاران (۲۰۱۸)،<sup>[۲۱]</sup> با نسبت چرخش ۱/۱ به حرکت درآمدند.

اگر سرعت و تنش اعمال شده از تنش برشی آستانه فرایند ریزپوشی کمتر باشد، رسوپ ها بدون غیربر و در بستر باقی می مانند؛ اما اگر بیشتر باشد، رسوپ ها شروع به فرایند ریزپوشی معلن شدن می کنند. در حالت دوم، زمان اعمال تنش برشی تا رسیدن به یک حالت تعادل به طول می انجامد پس از آن سرعت و تنش برشی دوم و به همین ترتیب تنش های بعدی اعمال می شوند. در آزمایش ها با بستر درشت دانه پس از پایان یافتن هر آزمایش، فلوم کاملاً تخلیه و پس از شست و شوی کامل رسوپ های بستر، شرایط برای بسترهای دیگر فراهم می شد. زمان اعمال هر سرعت یک ساعت در نظر گرفته شد، که بر این اساس، برای انجام هر آزمایش ۵ ساعت زمان نیاز بود. جدول ۲ مشخصات هیدرولیکی جریان در طول آزمایش فرایند را نشان می دهد.

به منظور سنجش غلظت رسوپ های معلق، هر ۱۵ دقیقه یک بار نمونه گیری رسوپ انجام شد. در هر زمان از عمق های ۵/۲، ۸/۳، ۱۲/۲ و ۱۶/۸ سانتی متری بسترهای ۴ موقعيت فلوم نمونه گیری به عمل آمد. سپس با خشک کردن نمونه ها در آون، غلظت رسوپ های معلق در هر زمان با توجه به فاصله ای قرارگیری شیرهای نمونه گیری، به روش دزی محاسبه شد.

در ادامه، به منظور تعیین متوسط سرعت و تنش برشی جریان برای حالت های مختلف بستر از دستگاه سرعت سنج صوتی (ADV) استفاده شد. به همین منظور نوسان های سرعت به ترتیب در ۵ مقطع عمودی و ۳ مقطع افقی با فاصله ۵ سانتی متر اندازه گیری شدند. در نهایت بر اساس معادله تنش رینولدز برای سرعت های مختلف چرخش فلوم و حالت های گوناگون بسترهای تنش برشی محاسبه شد. جدول ۲، شرایط هر یک از آزمایش ها را نشان می دهد.



شکل ۲. اجزاء فلوم دایره بی.

به فلوم ۱/۱ باشد، پروفیل سرعت در فلوم دایره بی مشابه کانال های بازو به صورت لگاریتمی است.<sup>[۲۱]</sup> رابطه سرعت متوسط و تنش برشی جریان با مجموع سرعت چرخش فلوم و درپوش برای فلوم مذکور در حالت بستر صاف به صورت روابط ۳ و ۴ است:

$$V = 0,20 \cdot 85 \ln(\omega) - 0,0556 \quad R^* = 0,98 \quad (3)$$

$$\tau = 0,254 \omega^{1,777} \quad R^* = 0,99 \quad (4)$$

که در آن،  $V$  سرعت متوسط جریان (متر بر ثانیه)،  $\tau$  تنش برشی جریان (نیوتون بر مترمربع) و  $\omega$  مجموع سرعت چرخشی رینگ و فلوم (دور بر دقيقه) هستند.

### ۳. نتایج و بحث

#### ۳.۱. پارامترهای هیدرولیکی

در شکل ۳، تغییرات سرعت متوسط جریان برای حالت های مختلف بستر و در برابر مجموع سرعت چرخش فلوم و درپوش مشاهده می شود، که مطابق آن به ازاء اعمال یک نیروی ثابت به سیال (سرعت چرخش فلوم و درپوش)، حضور رسوپ های بستر موجب کاهش سرعت متوسط جریان نسبت به بستر صاف شده است. همچنین مشاهده می شود که برای بستر حاوی رسوپ های درشت دانه، افزایش قطر رسوپ ها موجب کاهش سرعت متوسط جریان می شود. حضور رسوپ های بستر موجب ایجاد تلاطم و آشفتگی در بالای ذرات بستر و تشکیل جریان آرام در بین آنها می شود. این آشفتگی و انتقال از حالت جریان آرام به آشفته، تغییر ساختار سرعت جریان را به همراه دارد، که در مقادیر آن نیز تأثیرگذار است؛ و نیز قابل مشاهده است که اختلاف مقادیر سرعت در بسترهای متفاوت با افزایش قطر ذرات کاهش می یابد. همچنین نتایج نشان می دهند با افزایش نیروی وارد بر سیال، اختلاف سرعت جریان در بین بسترهای متفاوت، روند افزایشی دارد.

تغییرات تنش برشی جریان در حالت های مختلف بستر در شکل ۴ مشاهده می شود، که مطابق آن تأثیر رسوپ های بستر در تغییرات تنش برشی، جریان المکویی کاملاً متفاوت با مقادیر سرعت دارد. به گونه بی که نتایج نشان می دهند، افزایش اندازه ای ذرات بستر موجب افزایش تنش برشی جریان می شود. بر این اساس کمترین

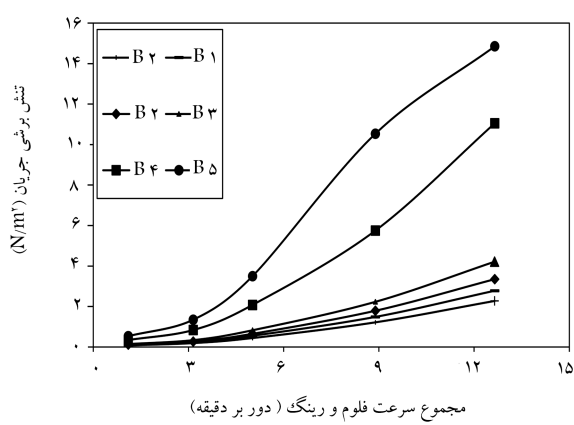
۳.۲. مراحل انجام آزمایش ها

در پژوهش حاضر، آزمایش های فرایند رسوپ های ریزدانه برای غلظت اولیه ۵۰ گرم بر لیتر، ۵ سرعت جریان (اختلاف دور فلوم و درپوش) و در ۶ حالت بستر انجام شد. بسترهای مورد نظر، شامل: بستر صاف (B<sub>۰</sub>) و ۵ بستر حاوی رسوپ های درشت دانه (B<sub>۱</sub> الی B<sub>۵</sub>) بودند. در پژوهش حاضر، منظور از بستر صاف، بستر فلوم با جنس گالوانیزه و بدون رسوپ های بستر است.

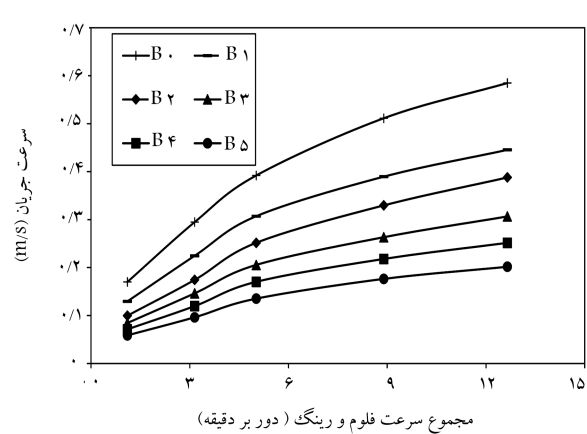
عمق رسوپ های درشت دانه در گف فلوم با توجه به قطر ذرات ۱۰ سانتی متر (D<sub>۰</sub> > ۲d<sub>۰</sub>) در نظر گرفته شد. همچنین به منظور تأثیر بودن شرایط هیدرولیکی و نمونه گیری از شیرهای مشابه در هر دو حالت از بستر، ورقه بی فلزی از جنس گالوانیزه در ۱۰ سانتی متری از گف فلوم برای آزمایش های بستر صاف نصب شد. غلظت اولیه رسوپ ها با توجه به حجم سیال در فلوم متناظر با ۲۰ سانتی متر عمق تهیه و پس از مخلوط کردن با همزن الکتریکی وارد فلوم در حال حرکت شد. پس از ریختن رسوپ ها در فلوم دایره بی، برای مخلوط شدن کامل رسوپ ها و خرد شدن کامل فلوم، فلوم و درپوش به مدت ۳۰ دقیقه برخلاف جهت هم به چرخش درآمدند. پس از مخلوط شدن کامل رسوپ ها، با توقف کامل فلوم و درپوش، اجازه دی تهیی به رسوپ های معلق داده شد. زمان تهیی و تحکیم رسوپ ها ۲۴ ساعت

جدول ۲. زمان و تنش برشی جریان در آزمایش‌های فرسایش.

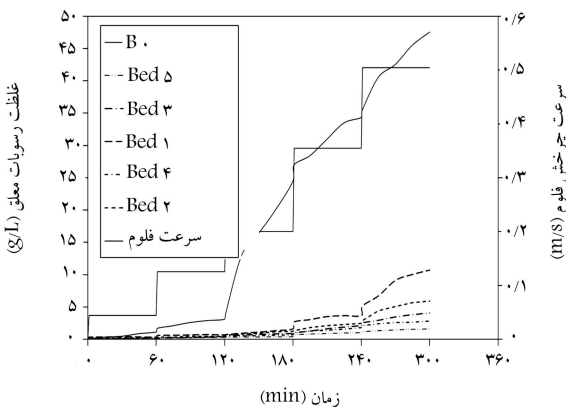
سرعت فلورم و درپوش	نام بستر	قطر متوسط (mm)	نام آزمایش	سرعت جریان (m/s)	تنش برشی (N/m <sup>2</sup> )
B <sub>0</sub>	-	-	B <sub>0</sub> V <sub>1</sub>	0,17	0,08
B <sub>1</sub>	2,75	B <sub>1</sub> V <sub>1</sub>	0,13	0,10	
(m/s) <sup>0,04</sup>	6,03	B <sub>2</sub> V <sub>1</sub>	0,10	0,12	
(m/s) <sup>0,05</sup>	9,4	B <sub>2</sub> V <sub>1</sub>	0,08	0,14	
B <sub>4</sub>	22,1	B <sub>4</sub> V <sub>1</sub>	0,07	0,34	
B <sub>5</sub>	48,2	B <sub>5</sub> V <sub>1</sub>	0,06	0,53	
B <sub>0</sub>	-	-	B <sub>0</sub> V <sub>2</sub>	0,29	0,19
B <sub>1</sub>	2,75	B <sub>1</sub> V <sub>2</sub>	0,22	0,24	
(m/s) <sup>0,13</sup>	6,03	B <sub>2</sub> V <sub>2</sub>	0,17	0,27	
(m/s) <sup>0,14</sup>	9,4	B <sub>2</sub> V <sub>2</sub>	0,15	0,34	
B <sub>4</sub>	22,1	B <sub>4</sub> V <sub>2</sub>	0,12	0,84	
B <sub>5</sub>	48,2	B <sub>5</sub> V <sub>2</sub>	0,10	1,35	
B <sub>0</sub>	-	-	B <sub>0</sub> V <sub>3</sub>	0,39	0,44
B <sub>1</sub>	2,75	B <sub>1</sub> V <sub>3</sub>	0,31	0,56	
(m/s) <sup>0,20</sup>	6,03	B <sub>2</sub> V <sub>3</sub>	0,25	0,65	
(m/s) <sup>0,39</sup>	9,4	B <sub>2</sub> V <sub>3</sub>	0,21	0,83	
B <sub>4</sub>	22,1	B <sub>4</sub> V <sub>3</sub>	0,17	2,08	
B <sub>5</sub>	48,2	B <sub>5</sub> V <sub>3</sub>	0,14	3,50	
B <sub>0</sub>	-	-	B <sub>0</sub> V <sub>4</sub>	0,51	1,22
B <sub>1</sub>	2,75	B <sub>1</sub> V <sub>4</sub>	0,39	1,49	
(m/s) <sup>0,35</sup>	6,03	B <sub>2</sub> V <sub>4</sub>	0,33	1,79	
(m/s) <sup>0,39</sup>	9,4	B <sub>2</sub> V <sub>4</sub>	0,26	2,23	
B <sub>4</sub>	22,1	B <sub>4</sub> V <sub>4</sub>	0,22	0,75	
B <sub>5</sub>	48,2	B <sub>5</sub> V <sub>4</sub>	0,18	10,54	
B <sub>0</sub>	-	-	B <sub>0</sub> V <sub>5</sub>	0,58	2,28
B <sub>1</sub>	2,75	B <sub>1</sub> V <sub>5</sub>	0,45	2,78	
(m/s) <sup>0,50</sup>	6,03	B <sub>2</sub> V <sub>5</sub>	0,39	3,35	
(m/s) <sup>0,56</sup>	9,4	B <sub>2</sub> V <sub>5</sub>	0,25	4,22	
B <sub>4</sub>	22,1	B <sub>4</sub> V <sub>5</sub>	0,25	11,05	
B <sub>5</sub>	48,2	B <sub>5</sub> V <sub>5</sub>	0,20	14,85	



شکل ۴. تغییرات تنش برشی جریان در بسترها مخたطف.



شکل ۳. تغییرات سرعت متوسط جریان در بسترها مخたطف.



شکل ۵. تغییرات تنش برشی جریان در بسترها مختلف.

تنش برشی مربوط به بستر صاف و پس از آن بستر (B) است و بیشترین تنش برشی در بستر (B<sub>5</sub>) اتفاق می‌افتد. جریان آشفته ناشی از زبری بستر، مکش جریان سطحی به داخل رسوب‌ها را به همراه دارد، که موجب تشکیل گردابهای جریان می‌شود. در منطقه‌ی لایه‌ی مرزی ایجاد شده ناشی از ذرات بستر، که در اغلب مطالعات هیدرولیکی و مهندسی رودخانه مشاهده می‌شود، ساختارهای منسجم مختلفی تشکیل می‌شوند. مشهورترین نوع ساختارهای منسجم اشاره شده، جهش سریع جریان نزدیک بستر به سمت بالا و جاروب جریان با سرعت بالا به سمت بستر (مشهور به پدیده‌ی جهش و جاروب<sup>۱۰</sup>) است. بررسی‌های بیشتر نشان می‌دهد که پدیده‌های جهش و جاروب در کنار یکدیگر، ناشی از وجود ساختارهای منسجم بزرگ تری است که به گردابهای سنجاقی<sup>۱۱</sup> مشهور است. ایجاد چنین پدیده‌هایی در بسترها زیر، افزایش تنش برشی جریان را به همراه دارد.<sup>[۲۲]</sup>

### ۲.۳. تغییرات غلظت رسوب‌های فرایشی

به منظور بررسی تأثیر رسوب‌های بستر در نیز و تنش برشی بحرانی فرایش رسوب‌های چسبنده، تغییرات زمانی غلظت در برابر سرعت چرخش فلوم ترسیم شد، که نتایج آن در شکل ۵ مشاهده می‌شود، که مطابق آن در تمام حالت‌های بستر، با افزایش سرعت چرخش فلوم، غلظت رسوب‌های معلق نیز افزایش می‌یابد. به بیان دیگر، افزایش نیروی وارد بر جریان، موجب افزایش فرایش رسوب‌های تهشین شده می‌شود.

نتایج نشان می‌دهند در بستر صاف، غلظت رسوب‌های فرایش یافته بسیار بیشتر از فرایش در بسترها حاوی رسوب‌های درشت‌دانه است. در بستر صاف، چرخش فلوم با کمترین سرعت (۰,۹° دور بر دقیقه)، افزایش غلظت رسوب‌های معلق را به همراه دارد. همچنین مشخص است پس از اعمال سرعت سوم، غلظت رسوب‌ها به صورت ناگهانی افزایش یافته و در سرعت‌های بیشتر نیز روند افزایشی ادامه داشته است. چراکه در تنش‌های بزرگ‌تر، مقاومت ذرات رسوب تهشین شده کمتر از قدرت آشفتگی جریان است، که این امر موجب فرایش توده‌ی و جرمی از سطح بستر می‌شود. فرایش اخیر در مقادیر بزرگ از تنش برشی (سرعت) رخ می‌دهد و مشخصه‌ی آن جدا شدن توده‌های بزرگ رسوب از بستر است. وینتروپ<sup>۱۲</sup> و همکاران<sup>[۲۰,۲۱]</sup>، فرایش سطحی و توده‌ی را تابعی از تنش برشی متوجه پسترهای این اندامند. برخی دیگر از پژوهشگران<sup>[۲۷-۲۹]</sup> اثواب فرایش را در مطالعات خود مشاهده کرده و روابطی نیز پیرامون این موضوع ارائه داده‌اند.<sup>[۲۳]</sup>

مقادیر غلظت رسوب‌های معلق پس از پایان یافتن آزمایش‌ها برای بسترها

B<sub>5</sub> الی B<sub>1</sub> به ترتیب ۴۷، ۱۰/۸، ۶/۱، ۴/۴، ۳/۴ و ۱/۹ گرم بر لیتر بوده است. با توجه به غلظت رسوب‌های معلق در پایان آزمایش، کاهش چشمگیر میران فرایش در بستر رسوب‌های درشت‌دانه نسبت به بستر صاف را می‌توان ناشی از تله‌اندازی رسوب‌های معلق در بین رسوب‌های درشت‌دانه در هنگام تهشینی دانست، که فرصت دوباره معلق شدن پیدا نمی‌کنند. این در حالی است که به ازاء نیروی ثابت، تنش برشی در بسترها حاوی رسوب بیشتر است.

در بررسی پدیده‌ی فرایش در بسترها حاوی رسوب‌های درشت‌دانه مشخص است با افزایش قطر ذرات بستر، مقدار فرایش کاهش می‌یابد. این موضوع را می‌توان ناشی از تخلخل بیشتر بستر در رسوب‌های درشت‌دانه جستجو کرد، که تله‌اندازی بیشتر رسوب‌ها را به همراه دارد.

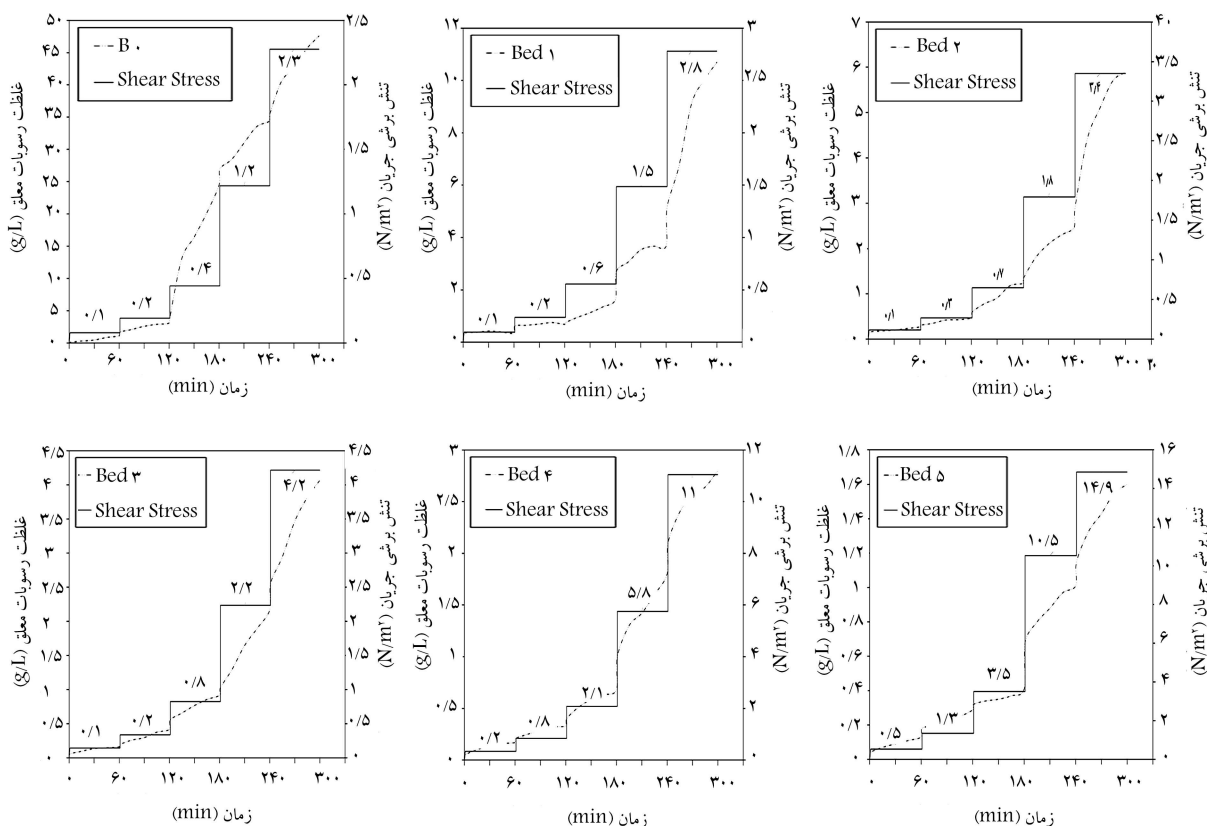
نکته‌ی قابل توجه دیگر این است که در بسترها حاوی رسوب‌های درشت‌دانه، تا سرعت چهارم فلوم، مقدار فرایش ناچیز و پس از آن به صورت ملایم، غلظت رسوب‌های معلق افزایش یافته است. به نظر می‌رسد فرایش در این حالت از نوع سطحی بوده و فقط رسوب‌های تهشین شده بر روی لایه سطحی رسوب‌های بستر فرایش یافته‌اند.

در ادامه، به منظور بررسی بیشتر، تغییرات غلظت رسوب‌های فرایش یافته در برابر تنش برشی جریان، به صورت مجزا برای هر یک از حالت‌های بستر تهیه شدند، که نتایج در شکل ۶ مشاهده می‌شود، و مطابق آن برای بستر صاف و بستر اول (D<sub>5</sub> = ۲/۸ mm)، اختلاف چندانی بین میزان تنش‌های برشی بستر وجود ندارد؛ اما قابل مشاهده است که تفاوت بسیار چشمگیری بین غلظت رسوب‌های فرایش یافته ایجاد شده است. در جدول ۳، میزان افزایش تنش برشی بستر در سرعت آخر چرخش فلوم و همچنین میزان غلظت رسوب‌های فرایش یافته در پایان آزمایش نسبت به بستر صاف ارائه شده است. قابل مشاهده است که در بستر اول، میزان تنش برشی حدود ۲۲٪ نسبت به بستر صاف افزایش یافته است؛ این در حالی است که غلظت رسوب‌های فرایش یافته، ۷۸٪ کمتر از بستر صاف بوده است. برای بستر پنجم، میزان تنش برشی ۵/۵ برابر بیشتر از بستر صاف بوده است، با این حال میزان فرایش رسوب‌ها حدود ۹۶٪ بستر صاف کاهش یافته است.

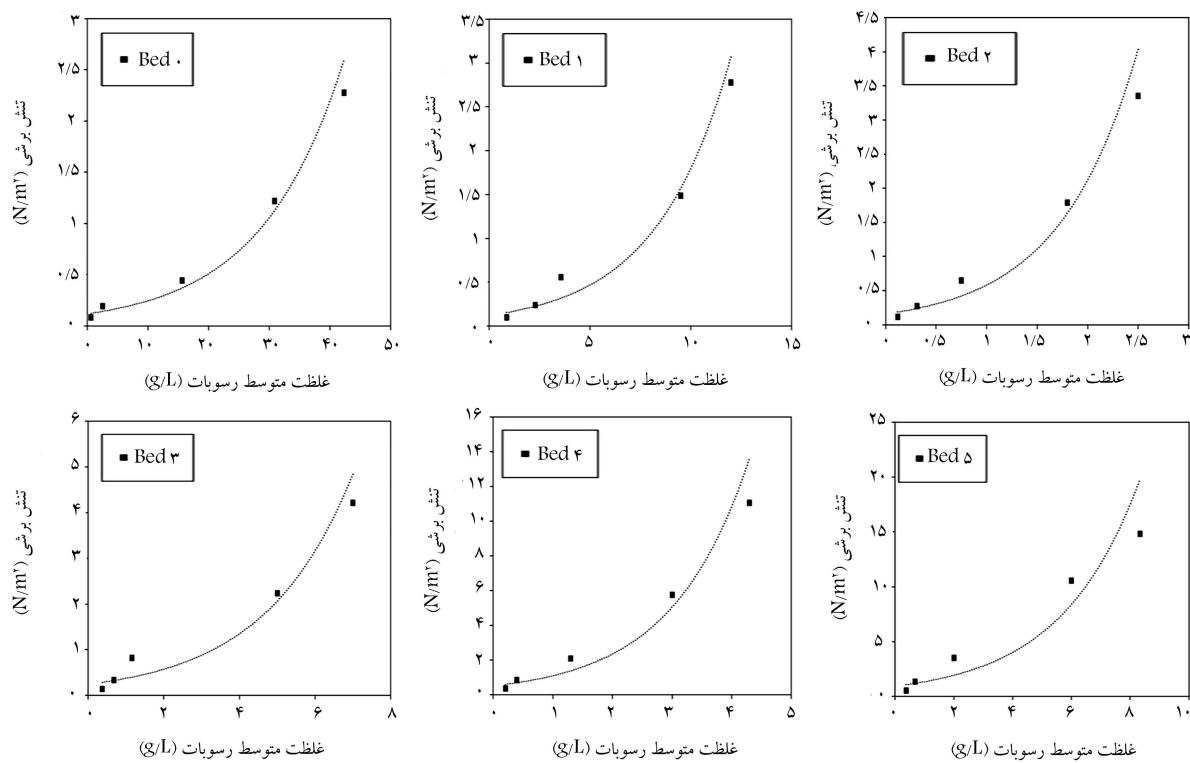
### ۳. تنش برشی بحرانی فرایش

برآورد تنش برشی آستانه‌ی فرایش بر اساس افزایش غلظت رسوب‌های معلق صورت گرفته است. در حقیقت با توجه به فرصت کافی برای تهشینی رسوب‌ها، در شروع آزمایش‌های فرایش، غلظت رسوب‌های معلق بسیار نزدیک به صفر است. از این رو در پژوهش حاضر با اندازه‌گیری غلظت رسوب‌های معلق از شروع آزمایش‌های فرایش، تنش برشی که غلظت رسوب‌ها را به ۱/۱ گرم بر لیتر رسانده است، به عنوان تنش برشی آستانه‌ی فرایش در نظر گرفته شد. بر همین اساس، مقدار متوسط غلظت رسوب‌های معلق در هر تنش برشی به دست آمد و رابطه‌ی بین مقادیر اخیر و تنش برشی جریان برای بسترها مختلف برقرار شد، که نتایج آن در شکل ۷ و جدول ۴ ارائه شده است.

با توجه به نتایج جدول ۴ مشخص است که رسوب‌های بستر موجب افزایش تنش برشی آستانه‌ی فرایش نسبت به بستر صاف شده‌اند. بر این اساس می‌توان بیان داشت که در بستر با رسوب‌های درشت‌دانه، در جریان با آشفتگی بیشتر، همچنان شوابط برای تهشینی رسوب‌ها فراهم است. نتایج نشان می‌دهند افزایش قطر رسوب‌های بستر، موجب افزایش تنش برشی آستانه‌ی فرایش رسوب‌ها شده است، به طوری که کمترین مقدار تنش مربوط به بستر اول و بیشترین آن مربوط به



شکل ۶. تغییرات غلظت رسوبات فرسایش یافته در بسترها مختلف.



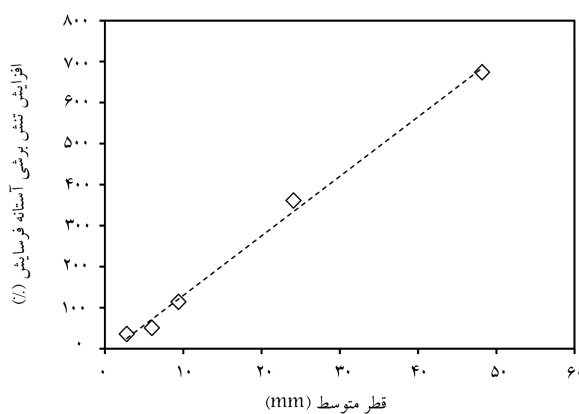
شکل ۷. رابطه‌ی تنش برشی و متوسط غلظت رسوبات فرسایش یافته در بسترها مختلف.

جدول ۳. میزان تغییرات تنفس برشی و غلظت رسوب‌های فرسایشی در بستر حاوی رسوب‌های درشت‌دانه نسبت به بستر صاف (درصد).

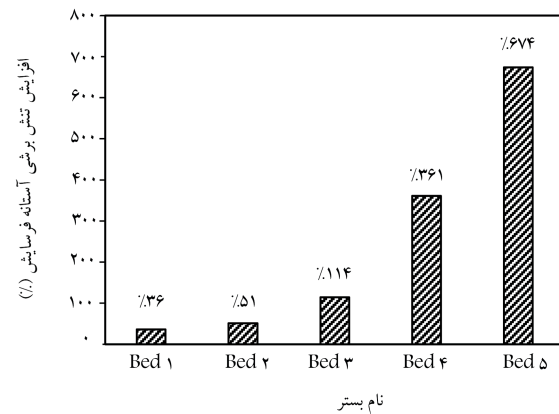
پارامتر	بستر ۱	بستر ۲	بستر ۳	بستر ۴	بستر ۵
	D <sub>50</sub> = ۲/۸ mm	D <sub>50</sub> = ۶/۰ mm	D <sub>50</sub> = ۹/۴ mm	D <sub>50</sub> = ۲۴/۱ mm	D <sub>50</sub> = ۴۸/۲ mm
افزایش تنفس برشی جریان (%)	۴۷	۲۲	۸۵	۳۸۴	۵۵۲
کاهش غلظت رسوب‌های فرسایشی (%)	-۷۸	-۸۷	-۹۱	-۹۴	-۹۶

جدول ۴. تنفس برشی آستانه‌ی فرسایش رسوب‌های مورد مطالعه.

پارامتر	بستر صاف	بستر ۱	بستر ۲	بستر ۳	بستر ۴	بستر ۵
	D <sub>50</sub> = ۲/۸ mm	D <sub>50</sub> = ۶/۰ mm	D <sub>50</sub> = ۹/۴ mm	D <sub>50</sub> = ۲۴/۱ mm	D <sub>50</sub> = ۴۸/۲ (mm)	D <sub>50</sub> = ۴۸/۲ (mm)
تنفس برشی در آستانه‌ی فرسایش (N/m <sup>2</sup> )	۰,۱۲	۰,۱۶	۰,۱۸	۰,۲۶	۰,۵۵	۰,۹۲



ب) ارتباط درصد افزایش تنفس برشی بحرانی آستانه‌ی فرسایش در برابر قطر متوسط رسوب‌های بستر.



الف) درصد افزایش تنفس برشی بحرانی آستانه‌ی فرسایش در بسترها در حاوی رسوب‌های درشت‌دانه نسبت به بستر صاف؛

شکل ۸. تغییرات تنفس برشی بحرانی آستانه‌ی فرسایش در برابر تغییرات بستر و قطر متوسط رسوبات.

تحکیم ۲۴ ساعت، معلق خواهند شد. این در حالی است که در بسترهای حاوی رسوب‌های درشت‌دانه، مقادیری برای تنفس برشی آستانه‌ی فرسایش کامل نمی‌توان متصور بود؛ چرا که شرایط جریان در فضای بین رسوب‌های بستر، بسیار متفاوت از آشفتگی جریان در بالای آنهاست و این موضوع شرایط مناسبی برای تنشی‌سازی رسوب‌های ریزدانه و مقاومت آنها در برابر دوباره معلق شدن فراهم کرده است.

#### ۴.۳. نرخ فرسایش

برای محاسبه‌ی نرخ فرسایش از رابطه‌ی ۶ استفاده شده است، که در آن از حاصل ضرب اختلاف دو غلظت متواالی در حجم سیال، جرم رسوب فرسایش مشخص می‌شود. از تقسیم جرم رسوب‌ها بر فاصله‌ی زمانی دو نمونه‌گیری و بر سطح فلوم، نرخ متوسط فرسایش در واحد زمان و واحد سطح بستر فلوم به دست می‌آید:

$$Q_E = \frac{(C_2 - C_1) \times V_{flume}}{(t_2 - t_1) \times A} \quad (6)$$

که در آن، Q<sub>E</sub> نرخ فرسایش (gr/m<sup>2</sup> min)، C<sub>1</sub> غلظت رسوب‌های معلق (گرم بر لیتر)، V<sub>flume</sub> حجم سیال موجود در فلوم (لیتر)، t<sub>i</sub> زمان (دقیقه) و A مساحت بستر فلوم (m<sup>2</sup>) است.

بر اساس نتایج به دست آمده، نرخ فرسایش برای بسترهای مختلف و در هر تنش برشی، محاسبه و در شکل ۹ مشاهده می‌شود. با توجه به مقادیر نرخ فرسایش

بستر پنجم بوده است. در پژوهش حاضر، تنفس برشی آستانه‌ی فرسایش برای بستر صاف ۰,۱۲ نیوتون بر مترمربع به دست آمده است.

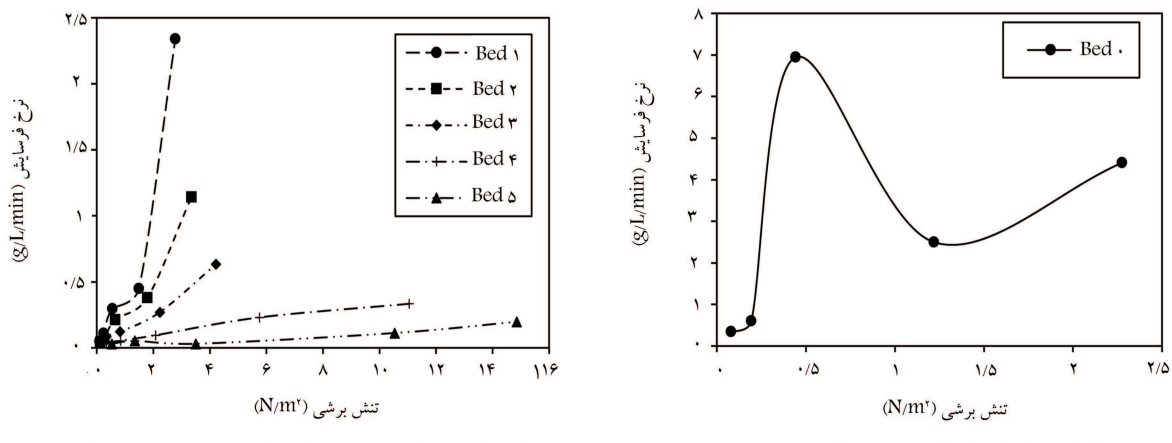
در شکل ۸ - الف، مقادیر افزایش تنفس برشی بحرانی آستانه‌ی فرسایش رسوب‌ها در بسترهای زبر نسبت به بستر صاف مشاهده می‌شود، که مطابق آن، تنفس برشی بحرانی فرسایش برای بسترهای B<sub>1</sub> الی B<sub>5</sub> به ترتیب ۳۶۱، ۱۱۴، ۵۱، ۳۶ و ۳۶ نرخ افزایش یافته است.

در ادامه، به بررسی ارتباط میزان افزایش تنفس برشی بحرانی آستانه‌ی فرسایش رسوب‌ها با قطر متوسط ذرات بستر پرداخته شده است، که نتایج در رابطه‌ی ۵ و شکل ۸ - ب ارائه شده است. در رابطه‌ی ۵، P<sub>CE</sub> درصد تغییرات تنفس برشی بحرانی و D<sub>50</sub> قطر متوسط ذرات رسوب بستر بر حسب میلی‌متر است. نتایج شکل ۸ - ب و پارامترهای آماری رابطه‌ی ۵، حاکی از دقت مناسب رابطه‌ی اخیر جهت تخمین میزان تغییرات تنفس برشی بحرانی آستانه‌ی فرسایش رسوب‌ها نسبت به بستر صاف است.

$$P_{CS}(\%) = 0,1452 D_{50} - 0,1538 R^* = 0,99 \quad (5)$$

$$err = 15,4\% \quad RMSE = 0,028$$

با توجه به میزان غلظت رسوب‌ها در پایان آزمایش فرسایش بستر صاف، میزان تنفس برشی فرسایش کامل رسوب‌ها در پژوهش حاضر، ۴,۵۴ نیوتون بر مترمربع به دست آمد. می‌توان انتظار داشت در تنفس برشی اخیر، تمام رسوب‌های تنشین شده با دوره‌ی



شکل ۹. تغییرات نرخ فرسایش در بسترها مختلف.

حتی در تنش‌های بزرگ‌تر از مقاومت ذرات رسوبی، اجازه‌ی فرسایش به آنها داده نمی‌شود.

#### ۴. نتیجه‌گیری

در پژوهش حاضر، به بررسی تأثیر رسوب‌های درشت‌دانه‌ی بستر در فرایند فرسایش رسوب‌های چسبنده پراخته شده است. نتایج نشان می‌دهند علی‌رغم این‌که رسوب‌های درشت‌دانه موجب افزایش تنش برشی جریان نسبت به بستر صاف می‌شوند، اما با وجود این، کاهش فرسایش رسوب‌های چسبنده را به همراه دارند. این موضوع را می‌توان با تله‌اندازی رسوب‌های ریزدانه در میان فضای خالی رسوب‌های بستر مرتبط دانست. به طوری که رسوب‌های بستر اجازه‌ی دوباره معلن شدن رسوب‌های چسبنده‌ی تهنشین شده در بستر را نمی‌دهند. در بستر اول، میزان تنش برشی حدود ۲۲٪ نسبت به بستر صاف افزایش یافته است؛ این در حالی است که غلظت رسوب‌های فرسایش یافته ۷۸٪ کمتر از بستر صاف بوده است. همچنین برای بستر پنجم، میزان تنش برشی ۵/۵ برابر بیشتر از بستر صاف بوده است، با این حال میزان فرسایش رسوب‌ها حدود ۹۶٪ بستر صاف کاهش یافته است.

در پژوهش حاضر، تنش برشی آستانه‌ی فرسایش برای بستر صاف ۱۲<sup>۰</sup> نیوتون بر مترمربع به دست آمد، که نتایج نشان می‌دهند حضور رسوب‌های بستر موجب افزایش تا ۷/۶ برابر تنش برشی آستانه‌ی فرسایش رسوب‌های چسبنده شده است. تله‌اندازی رسوب‌های چسبنده در فضای میان رسوب‌های درشت‌دانه بستر باعث می‌شود رسوب‌های ریزدانه در دسترس کاهش یابند. بر این اساس فرایند فرسایش و نرخ آن در بسترها حاوی رسوب‌های درشت‌دانه نسبت به بستر صاف به صورت چشمگیری کاهش می‌یابد.

به طور کلی نتایج پژوهش حاضر نشان می‌دهند که رفتار فرسایش رسوب‌های چسبنده در شرایط رودخانه‌ی به ویژه رودخانه‌های کوهستانی که حاوی رسوب‌های درشت‌دانه‌ی بستر هستند، بسیار متفاوت با نتایج آزمایشگاهی است، که نتایج رسوب‌های بستر در تله‌اندازی رسوب‌های ریزدانه را در نظر نگرفته‌اند. از این‌رو به منظور انجام مطالعات هیدرولیک رسوب در رودخانه‌های کوهستانی، باید در استفاده از نتایج و روابط تجربی که در فلوم‌های آزمایشگاهی بدون شیوه‌سازی شرایط رودخانه به دست آمده‌اند، احتیاط کرد.

در بستر صاف و به منظور مشاهده جزئیات بیشتر، نتایج نرخ فرسایش در بستر صاف به صورت مجزا از دیگر بسترها نمایش داده شده است. برای بستر صاف در شکل ۹ - الف مشاهده می‌شود که در سرعت سوم چرخش فلوم (۰/۲ متر بر ثانیه)، نرخ فرسایش به طور ناگهانی افزایش یافته است؛ این در حالی است که تفاوت چندانی بین مقادیر نرخ فرسایش در سرعت اول و دوم فلوم وجود ندارد. افزایش ناگهانی ایجاد شده حاکی از تغییر در نوع فرسایش است، به طوری که پس از فرسایش رسوب‌های سطحی، به دلیل استحکام پایین توده‌های رسوب، ادامه‌ی فرسایش به صورت جدایی توده‌های بزرگ رسوب اتفاق افتاده است. علت نزولی بودن نرخ فرسایش در سرعت چهارم را می‌توان این گونه توجیه کرد که توده‌های باقی‌مانده پس از فرسایش توده‌های رسوبی ضعیف‌تر در تنش برشی سوم، مقاومت پیشتری در برابر جریان دارند، که همین امر موجب روند نزولی نرخ فرسایش در بستر چهارم شده است؛ اما با افزایش سرعت چرخش فلوم، آشفتگی جریان بر مقاومت ذرات غلبه کرده و نرخ فرسایش در سرعت پنجم افزایش یافته است.

روند تغییرات نرخ فرسایش برای بسترها حاوی رسوب‌های درشت‌دانه در شکل ۹ - ب مشاهده می‌شود. نتایج نشان می‌دهند که به بستر صاف کاهش می‌دهد و همچنین با افزایش قطر رسوب‌های درشت‌دانه، علی‌رغم افزایش تنش برشی جریان، نرخ فرسایش کمتر است.

قابل مشاهده است بیشترین تغییرات نرخ فرسایش در بسترها حاوی رسوب‌های درشت‌دانه مربوط به سرعت پنجم است، که روند اخیر در بسترها ریز، صعودی‌تر بوده و با افزایش قطر ذرات بستر، روند مذکور شبیه کمتری داشته است. بر این اساس در بسترها، اول تا سوم، افزایش تنش برشی می‌تواند نرخ فرسایش را نیز به دنبال داشته باشد. اما با توجه به افقی شدن نمودار نرخ فرسایش در بسترها چهارم و پنجم، می‌توان بیان کرد که افزایش تنش برشی، تأثیری در نرخ فرسایش نخواهد داشت؛ چرا که به نظر می‌رسد کم بودن مقدار نرخ فرسایش در حالت‌های چهارم و پنجم از بستر، بیشتر از این‌که مربوط به آشفتگی جریان و مقاومت توده‌های رسوبی باشد، تابعی از وجود رسوب‌ها جهت فرسایش است. با توجه به مقادیر بزرگ تنش برشی در بسترها حاوی رسوب‌های درشت‌دانه نسبت به بستر صاف می‌توان اظهار داشت تأثیر ذرات بستر در نرخ فرسایش رسوب‌های ریزدانه بیشتر به دلیل تله‌اندازی رسوب‌های چسبنده در میان ذرات بستر است، که

## پانوشت‌ها

1. floc
2. Krishnappan & Engel
3. Ravens
4. Krone
5. Lavelle
6. Glasbergen
7. Elbow River
8. Droppo
9. Armand River
10. sweep & ejection
11. hairpin vortex
12. Winterwerp

## منابع (References)

1. Debnath, K. and Chaudhuri, S. "Cohesive sediment threshold: areview", *ISH Journal of Hydraulic Engineering*, **16**(1), pp. 36 - 56 (2010).
2. Fedrico, M. "Flocculation dynamics of cohesive sediment", *Communications on Hydraulic and Geotechnical Engineering of the Faculty of Civil Engineering and Geosciences, Delft University of Technology*, pp.136 (2005).
3. Milburn, D. and Krishnappan, B.G. "Modelling erosion and deposition of cohesive sediment from Hay River Northwest Territories", *Canada, Paper presented at the 13th Northern Res., Basins/Workshop*, pp.19-24 (Aug., 2001).
4. Huang, J., Hilldate, R.C. and Greiman, B.P. "Erosion and sedimentation manual", *U.S. Department of the interior, United States Bureau of Reclamation* (2006).
5. Krestenitis, Y.N., Kombiadou, D.K. and Savvidis, Y.G. "Modelling the cohesive sediment transport in marine environment: the case of Themaikos Gulf", *Ocean Science*, **3**(1), pp. 91-104, (2007).
6. Huston, D. and Fox, J. "Clogging of fine sediment within gravel substrates: dimensional analysis and macro analysis of experiments in hydraulic flumes", *Journal of Hydraulic Engineering*, **141**, 04015015, pp.8 (2015).
7. Krishnappan, B.G. and Engel, P. "Entrapment of fines in coarse sediment beds. River Flow", *Ferreira, Alves, Leal and Cardoso (eds.), Tailor and Francis Group, London*, pp. 817-824 (2006).
8. Khastar Boroujeni, M., Khodashenas, S.R. and Samadi, H. "Experimental investigation of the effect of bed's coarse gravel on the deposition of cohesive sediment process", *Journal of Hydraulics*, **13**(3), pp. 83-93 (2018).
9. Amelia, V.C.M. and Teixeira, C.F.J. "Senhorinha. Teixeira, F.C.F.S. Physical characterization of estuarine sediments in the northern coast of Portugal", *Journal of Coastal Research*, **26**(2), pp. 301-311 (2010).
10. Giardino, A., Ibrahim, E., Adam, S. and et al. "Hydrodynamics and cohesive sediment transport in the Ijzer Estuary, Belgium: case steady", *Journal of Waterway, Port, Coastal and Ocean Engineering (ACSE)*, **135**(4), pp. 176-184 (2009).
11. Wang, Y.H. "The intertidal erosion rate of cohesive sediment: a case study from long island sound. estuarine", *Coastal and Shelf Science*, **56**(5-6), pp. 891-896 (2002).
12. Ravens, T.M. and Gschwend, P.M. "Flume measurement of sediment erodibility in boston harbor", *J. Hydraulic Eng., ACCE*, **125**(10), pp. 998-1005 (1999).
13. Krone, R.B. "Sedimentation revisited, in nearshore and estuarine cohesive sediment transport", *Coastal Estuarine Stud, edited by Mehta, A.J.*, **42**, pp. 108-125, AGU, Washington, D.C. (1999).
14. Roberts, J., Jepsen, R., Gotthard, D. and et al. "Effects of particle size and bulk density on erosion of quartz particles", *Journal of Hydraulic Engineering*, **124**(12), pp. 1261-1267 (1998).
15. Lavelle, J.W., Mofjeld, H.O. and Baker, E.T. "An in situ erosion rate for a fine-grained marine sediment", *J. Geophys. Res.*, **89**(C4), pp. 6543-6552 (1984).
16. Parchure, T.M. and Mehta, A.J. "Erosion of soft cohesive sediment deposits", *Journal of Hydraulic Engineering, ASCE*, **111**(10), pp. 1308-1326 (1985).
17. Ma, K.S. and Pierre, A.C. "Microstructure of kaolinite sediments made with unaged FeCl<sub>3</sub>", *Colloids Surfaces*, **4**(45), pp. 175-184 (1998).
18. Bong, C.H.J., Putuhena, F.J., Lau, T.L. and et l. "Effect of deposition thickness on critical shear Stress for incipient motion of sediments. conference paper", *The 3rd International Conference on Water Resources (ICWR2015), At Langkawi, Kedah, Malaysia* (Nov 2015).
19. Glasbergen, K. "The effect of coarse gravel on cohesive sediment entrapment in an annular flume", *presented to the University of Waterloo in fulfillment of the thesis requirement for the Degree of master of Science In Geography, Waterloo, Ontario, Canada*, pp.88 (2014).
20. Dropo, I.G. , Andrea, L., Krishnappan, B.G. and et al. "Fine sediment dynamics: towards an improved understanding of sediment erosion and transport", *Journal of Soils and Sediments*, **15**, pp. 467-479 (2015).
21. Khastar-Boroujeni, M., Esmaili, K., Samadi-Boroujeni, H. and et al. "Wastewater effect on the deposition of cohesive sediment", *Journal of Environmental Engineering, ASCE*, pp.7 (2018).
22. Hutchins, N. and Marusic, I. "Evidence of very long meandering streamwise structures in the logarithmic region of turbulent boundary layers", *Journal of Fluid Mechanics*, **579**, pp. 1-28 (2007).
23. Winterwerp, J.C., Van Kesteren, W.G.M., Van Prooijen, B. and et al. "A conceptual framework for shear flow-induced erosion of soft cohesive sediment beds", *Journal of Geophysical Research*, **117**, pp.17 (2012).
24. Kron, R.B. *The Significance of Aggregate Properties to Transport Processes in Estuarine Cohesive Sediment Dynamics*, Lecture Notes on Coastal and Estuarine Studies, edited by Mehta, A.J. Springer, New York (1984).
25. Mehta A.J. *Review Notes on Cohesive Sediment Erosion, In Coastal Sediments' 91*. NewYork, ASCE, pp. 40-53 (1991).
26. Debnath, K. and Chaudhuri, S. "Cohesive sediment threshold: a review", *ISH Journal of Hydraulic Engineering*, **16**(1), pp. 36-56 (2010).
27. Jacob, W. *Sand-mud Erosion from a Soil Mechanical Perspective*, PhD dissertation, Delft Univ of Technol, Delft, Netherlands, pp.241 (2011).